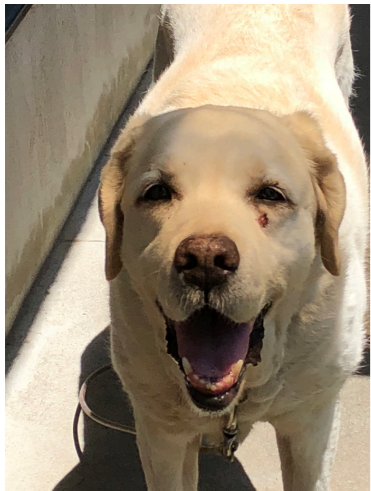


ゼロレンジ模型での 弱束縛関係式の改良



衣川 友那

兵藤 哲雄

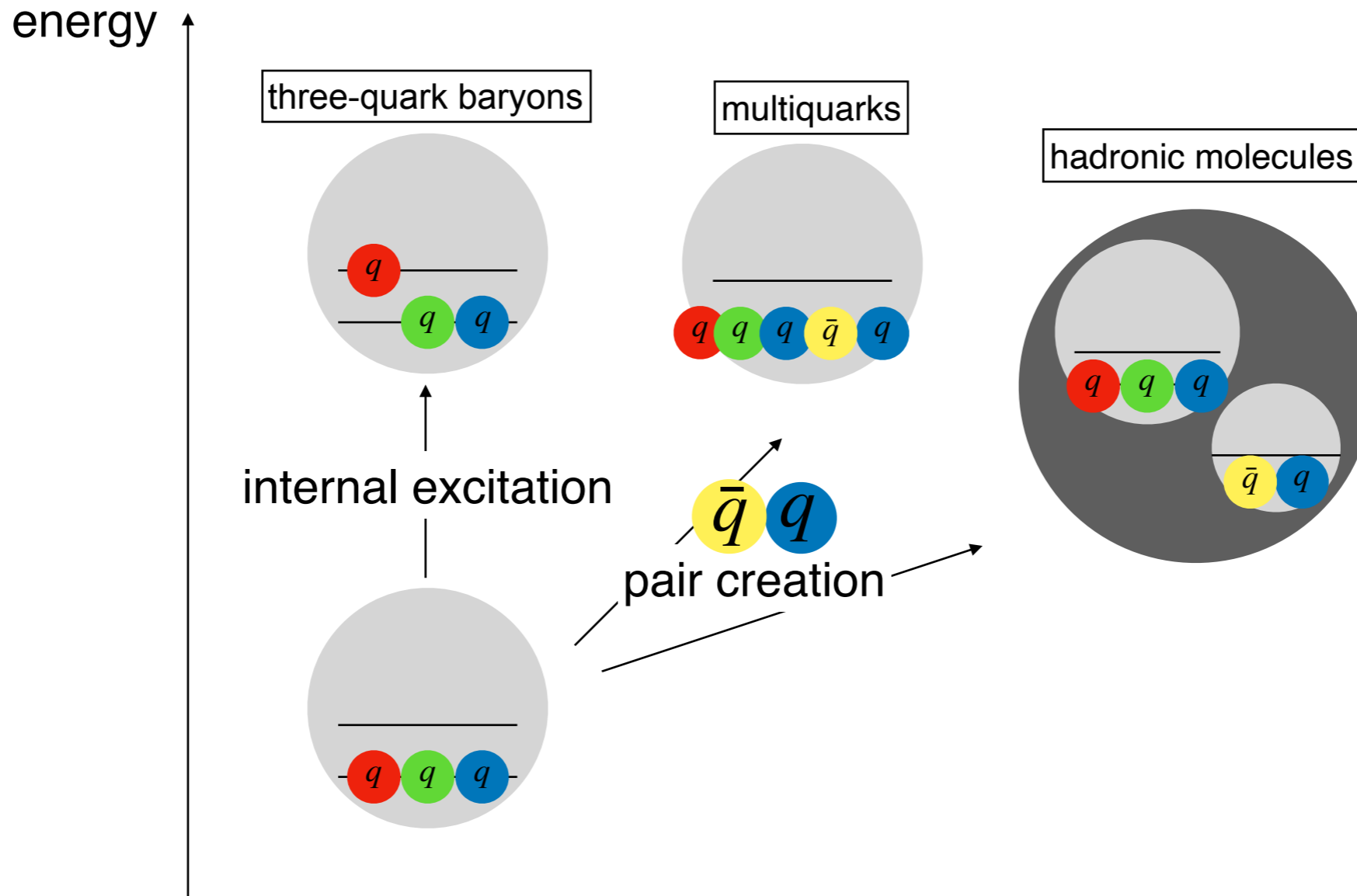


Department of Physics, Tokyo Metropolitan University
March 12th 2021 日本物理学会

背景

エキゾチックハドロンの候補
 $\Lambda(1405)$, XYZ meson etc...

マルチクォーク状態
ハドロン分子状態



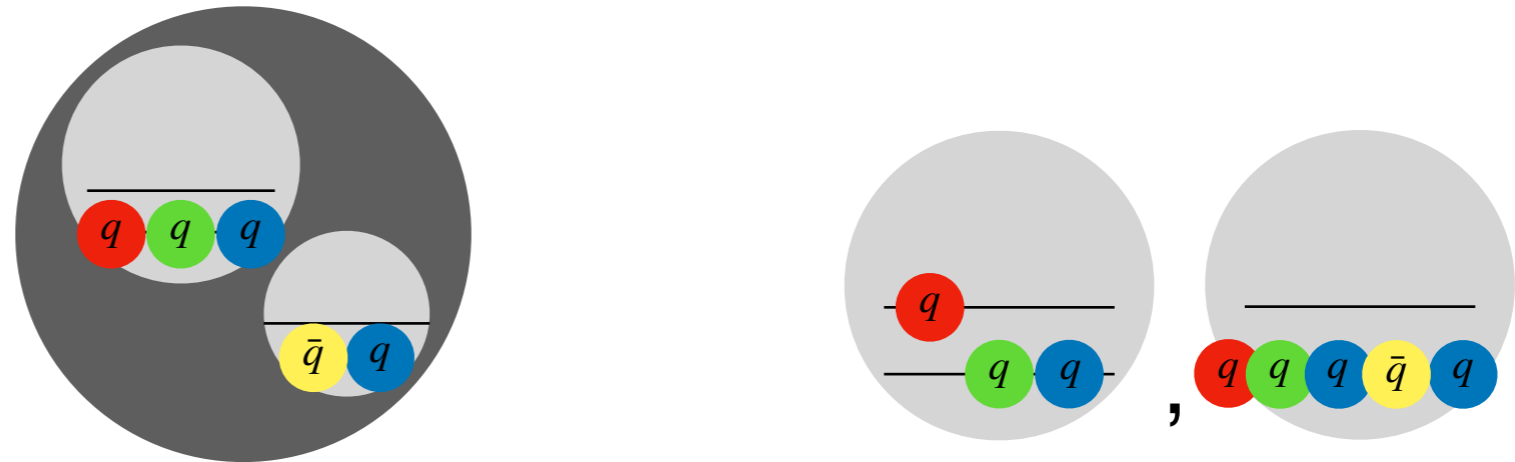
ハドロンの内部構造

モデル非依存な手段

観測量

先行研究

ハドロンの波動関数



$$|\Psi\rangle = \sqrt{X} |\text{hadronic molecule}\rangle + \sqrt{1-X} |\text{others}\rangle$$

複合性(ハドロン分子状態の重み)

弱束縛関係式

$$a_0 = R \left\{ \frac{2X}{1+X} + \mathcal{O}\left(\frac{R_{\text{typ}}}{R}\right) \right\}$$

a_0 (散乱長)

$R \equiv (2\mu B)^{-1/2}$, B (束縛エネルギー)

R_{typ} (相互作用長さ)

$R \gg R_{\text{typ}}$ のとき: 観測量(a_0, B) \longrightarrow 複合性(X)

S. Weinberg, Phys. Rev. 137, B672 (1965); Y. Kamiya and T. Hyodo, PTEP 2017, 023D02 (2017).

Motivation

$$\text{弱束縛関係式} \quad a_0 = R \left\{ \frac{2X}{1+X} + \mathcal{O}\left(\frac{R_{\text{typ}}}{R}\right) \right\}$$

低エネルギー一般性 $\rightarrow a_0 = R (R \rightarrow \infty)$

- 他のチャンネルの寄与によるズレ $\leftarrow X \neq 1$

- 相互作用長さによるズレ $\leftarrow R_{\text{typ}} \neq 0$

\rightarrow 有効レンジ r_e の導入による弱束縛関係式の **range correction** を考える

質量 m の同種ボソンによる1チャンネル散乱:

$$\mathcal{H}_{\text{int}} = \frac{1}{4}\lambda_0(\psi^\dagger\psi)^2 + \frac{1}{4}\rho_0\nabla(\psi^\dagger\psi)\cdot\nabla(\psi^\dagger\psi)$$

On-shell散乱振幅: cut off at Λ

$$f(k) = \left[\frac{8\pi}{m} \frac{\left(1 + \frac{m}{12\pi^2}\Lambda^3\rho_0\right)^2}{N(k)} - \frac{2}{\pi}\Lambda - ik \right]^{-1}, \quad N(k) = \left[\lambda_0 - \frac{m}{20\pi^2}\Lambda^5\rho_0^2 \right] + 2\rho_0 \left(\frac{m}{24\pi^2}\Lambda^3\rho_0 + 1 \right) k^2.$$

くりこみ:

a_0 と r_e が Λ 非依存になるように、ベアパラメータ λ_0, ρ_0 を Λ の関数にする

$$f(k) = \left[-\frac{1}{a_0} + \frac{r_e}{2}k^2 + \mathcal{O}\left(\frac{1}{\Lambda}\right) - ik \right]^{-1}$$
$$\rightarrow \left[-\frac{1}{a_0} + \frac{r_e}{2}k^2 - ik \right]^{-1} \quad (\Lambda \rightarrow \infty)$$

ゼロレンジ極限

有効レンズ模型

ゼロレンズ極限: $X = 1, R_{\text{typ}} = 1/\Lambda \rightarrow 0$

$$\Rightarrow a_0 = R \left\{ \frac{2X}{1+X} + \mathcal{O}\left(\frac{R_{\text{typ}}}{R}\right) \right\} \rightarrow R ?$$

くりこまれた散乱振幅($\Lambda \rightarrow \infty$):

$$a_0 = R \frac{2r_e/R}{1 - (r_e/R - 1)^2} = R \left[1 + \mathcal{O}\left(\left|\frac{r_e}{R}\right|\right) \right]$$

→ r_e による弱束縛関係式の **range correction**

弱束縛関係式の改良

相互作用長さ: $R_{\text{typ}} \rightarrow R_{\text{int}} \sim 1/\Lambda$

R_{typ} の再定義:

$$R_{\text{typ}} = \max \left\{ R_{\text{int}}, R_{\text{eff}} \right\}, \quad R_{\text{eff}} = \max \left\{ |r_e|, \frac{|P_s|}{R^2}, \dots \right\}.$$

数値計算

$$\text{弱束縛関係式} \quad a_0 = R \left\{ \frac{2X}{1+X} + \mathcal{O}\left(\frac{R_{\text{typ}}}{R}\right) \right\}$$

誤差項の見積もり ($\xi \equiv R_{\text{typ}}/R$): Y. Kamiya and T. Hyodo, PTEP 2017, 023D02 (2017).

→ 中心値 X_c , 上限と下限の値 X_{upper} , X_{lower}

弱束縛関係式が有用であるためには...

$$\left\{ \begin{array}{l} X_{\text{lower}} < X_{\text{exact}} < X_{\text{upper}} \quad : \text{正確さの条件} \\ \frac{(X_{\text{upper}} - X_c)}{X_c} < 0.1 \text{ and } \frac{(X_c - X_{\text{lower}})}{X_c} < 0.1 \quad : \text{精密さの条件} \end{array} \right.$$

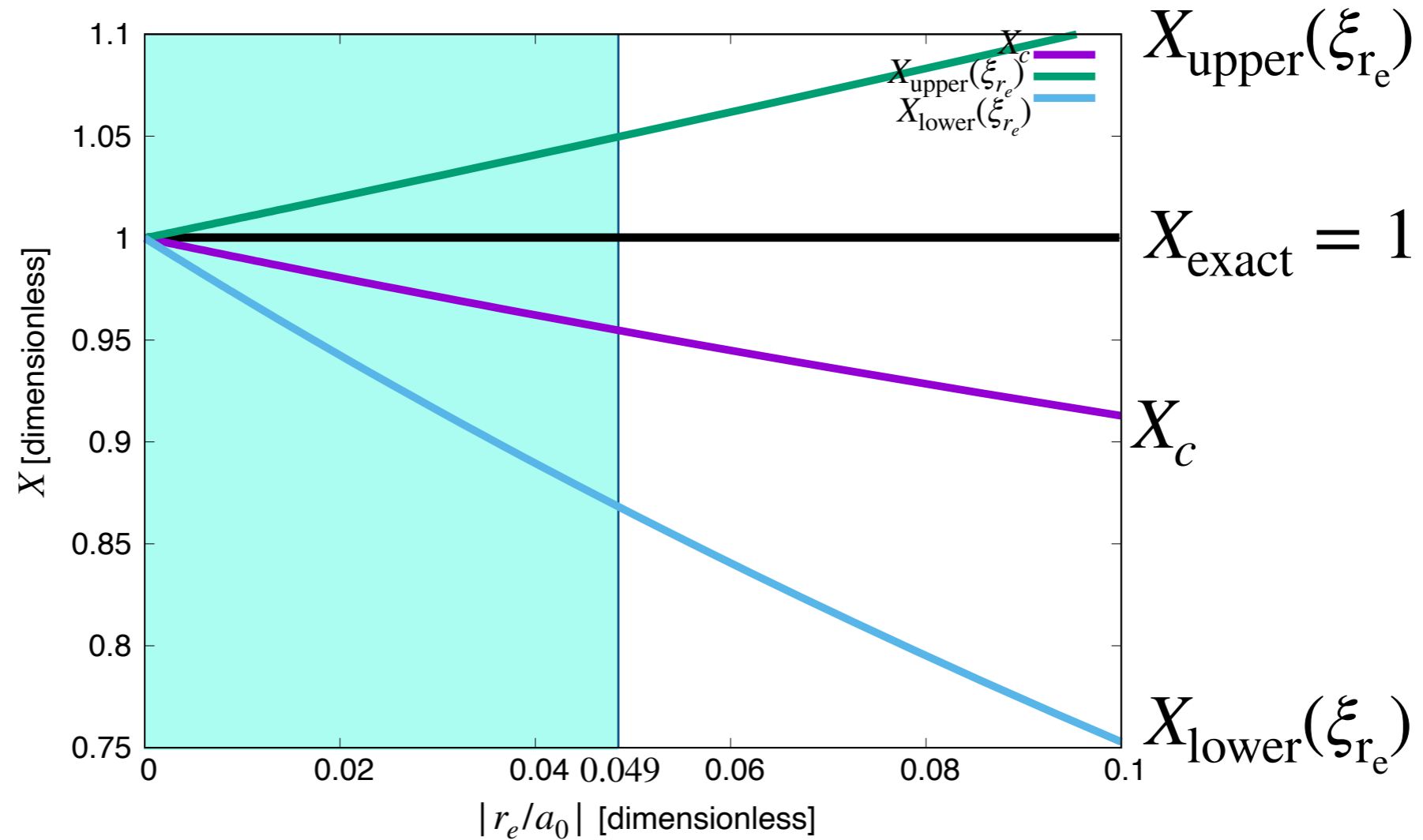
有効レンジモデル ($\Lambda < \infty$)

$$f(k; \lambda_0, \rho_0, \Lambda) = \left[-\frac{1}{a_0} + \frac{r_e}{2} k^2 + \mathcal{O}(R_{\text{int}}) - ik \right]^{-1} \quad (r_e \text{ と } R_{\text{int}} \text{ の 2 つ の 長 さ ス ケ ー ル})$$

→ 正確さと精密さの2つの条件が成り立つ r_e and R_{int} の領域を探す。

数値計算

r_e による X_c と誤差の範囲の見積もり ($R_{\text{int}} = a_0/1000$)



- $X_{\text{exact}} = 1$ はいつも誤差の範囲に含まれる

→ 正確さの条件はいつも満たされている

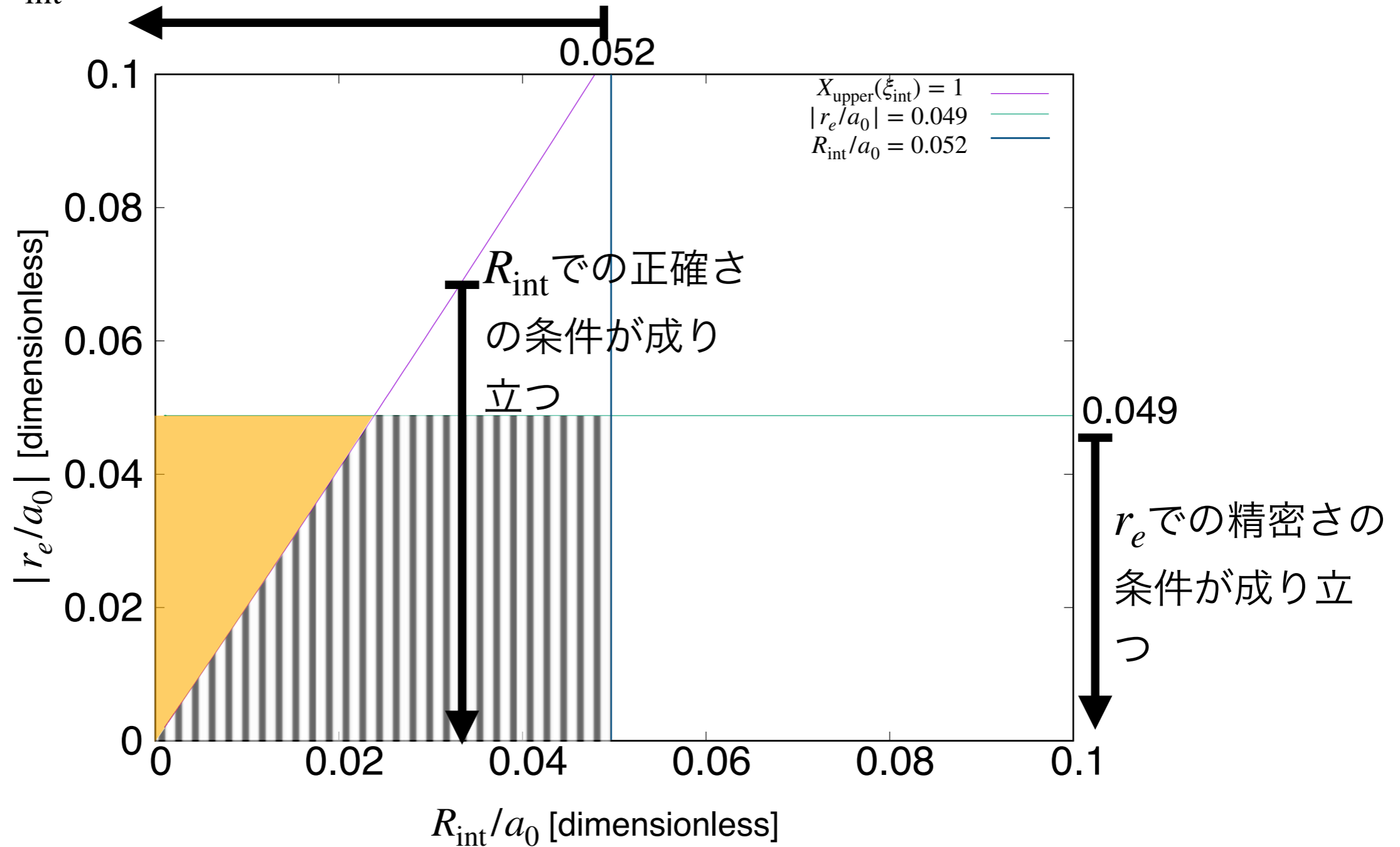
- $|r_e| \lesssim 0.049a_0$ の領域で誤差が10%以下

→ この領域で精密さの条件は満たされる

数値計算


$R_{\text{int}}/a_0 - |r_e/a_0|$ 平面での正確さと精密さの条件のplot

R_{int} での精密さの条件が成り立つ.



改良した弱束縛関係式のみが有用な領域があった

結論と今後の見通し

- 弱束縛関係式: 観測量  複合性(X)


$$a_0 = R \left\{ \frac{2X}{1+X} + \mathcal{O}\left(\frac{R_{\text{typ}}}{R}\right) \right\}$$

- r_e による弱束縛関係式のrange correctionを見つけた

- R_{typ} の再定義による弱束縛関係式の改良:

$$R_{\text{typ}} = \max \left\{ R_{\text{int}}, R_{\text{eff}} \right\}, \quad R_{\text{eff}} = \max \{ |r_e|, \dots \}$$

- 数値計算: 有効レンジモデル($\Lambda < \infty$)

 改良した弱束縛関係式のみが有用な範囲を見つけた

- 改良した弱束縛関係式を実際のハドロン系に応用